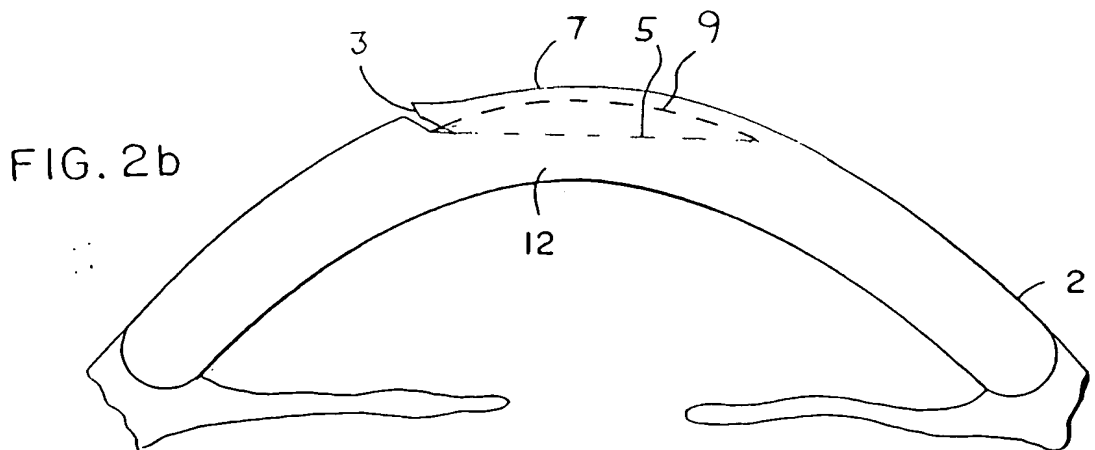
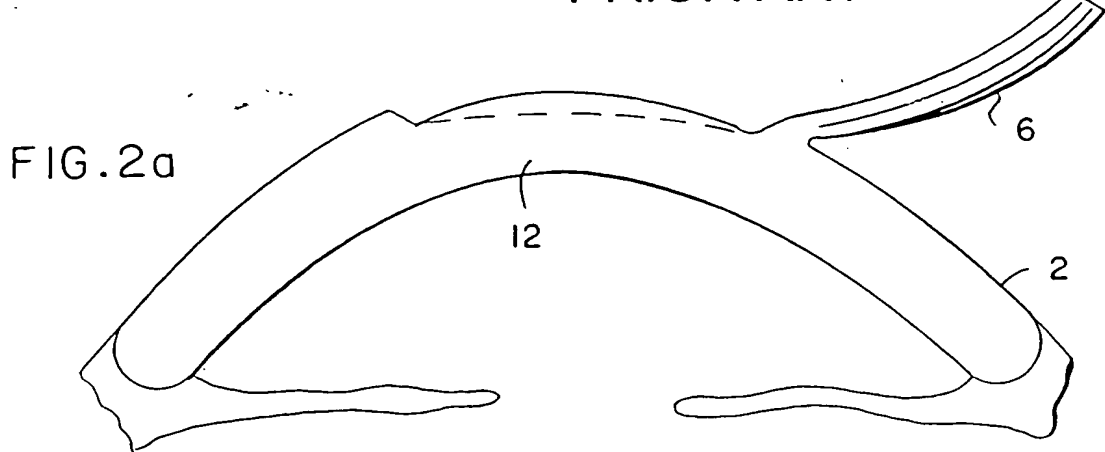


PRIOR ART



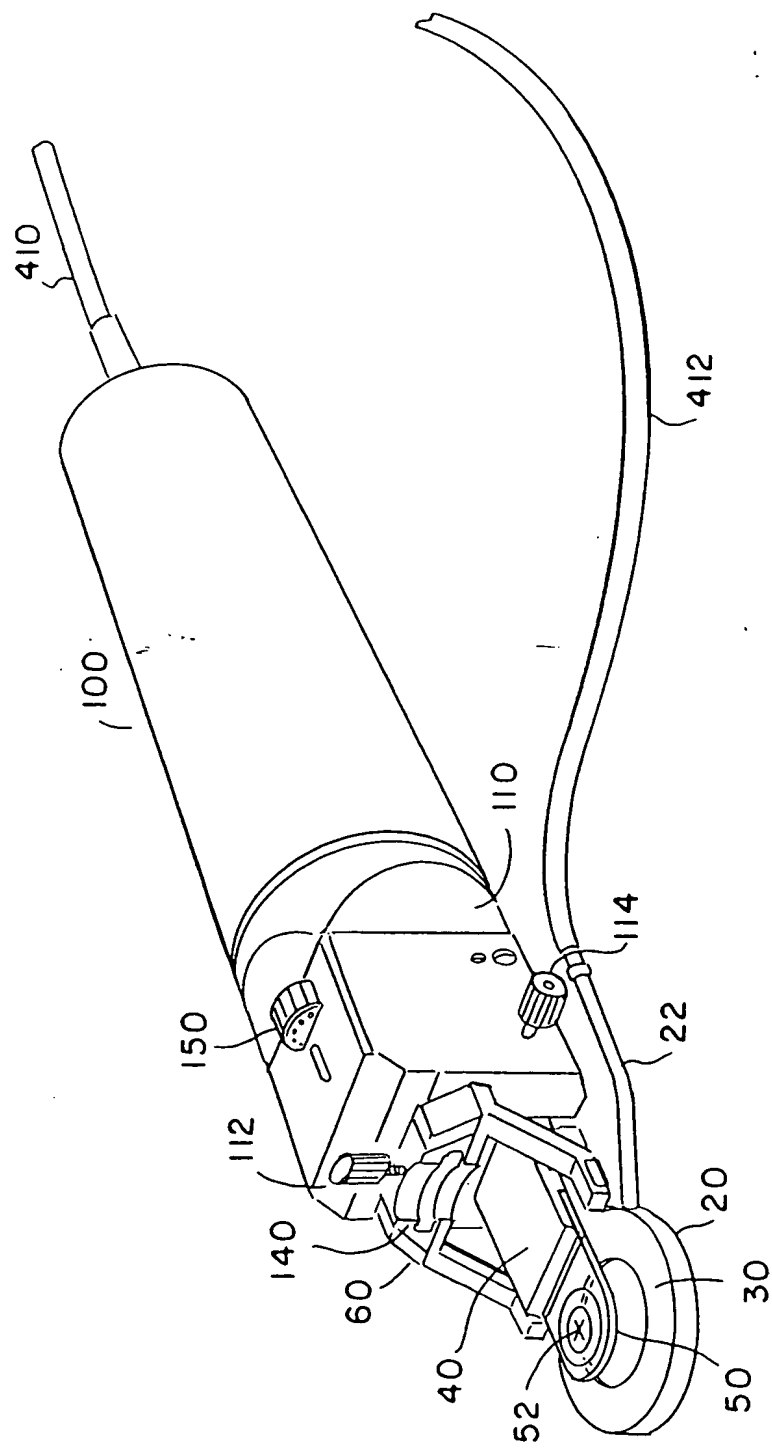


Fig. 3

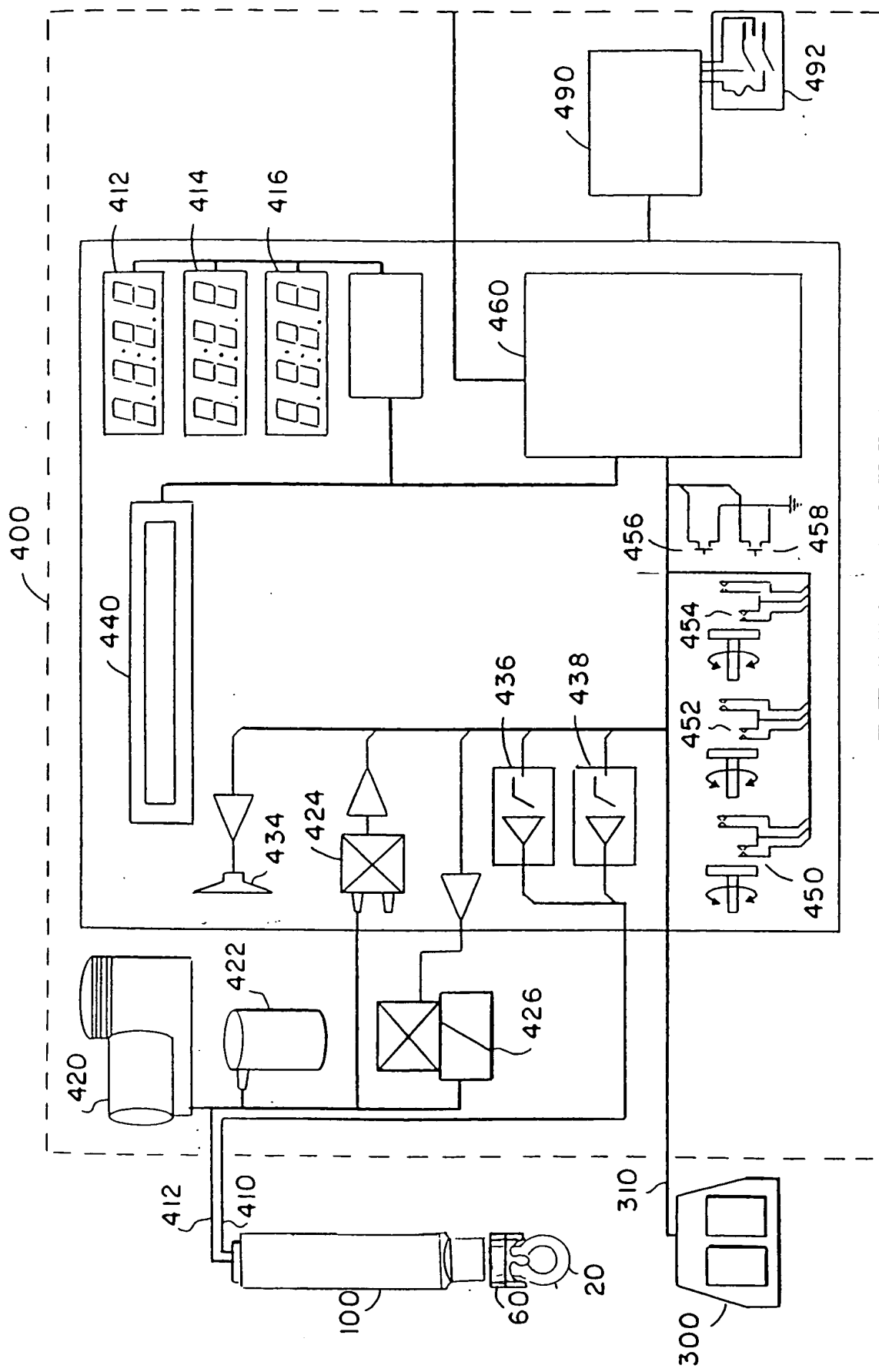


FIG. 4

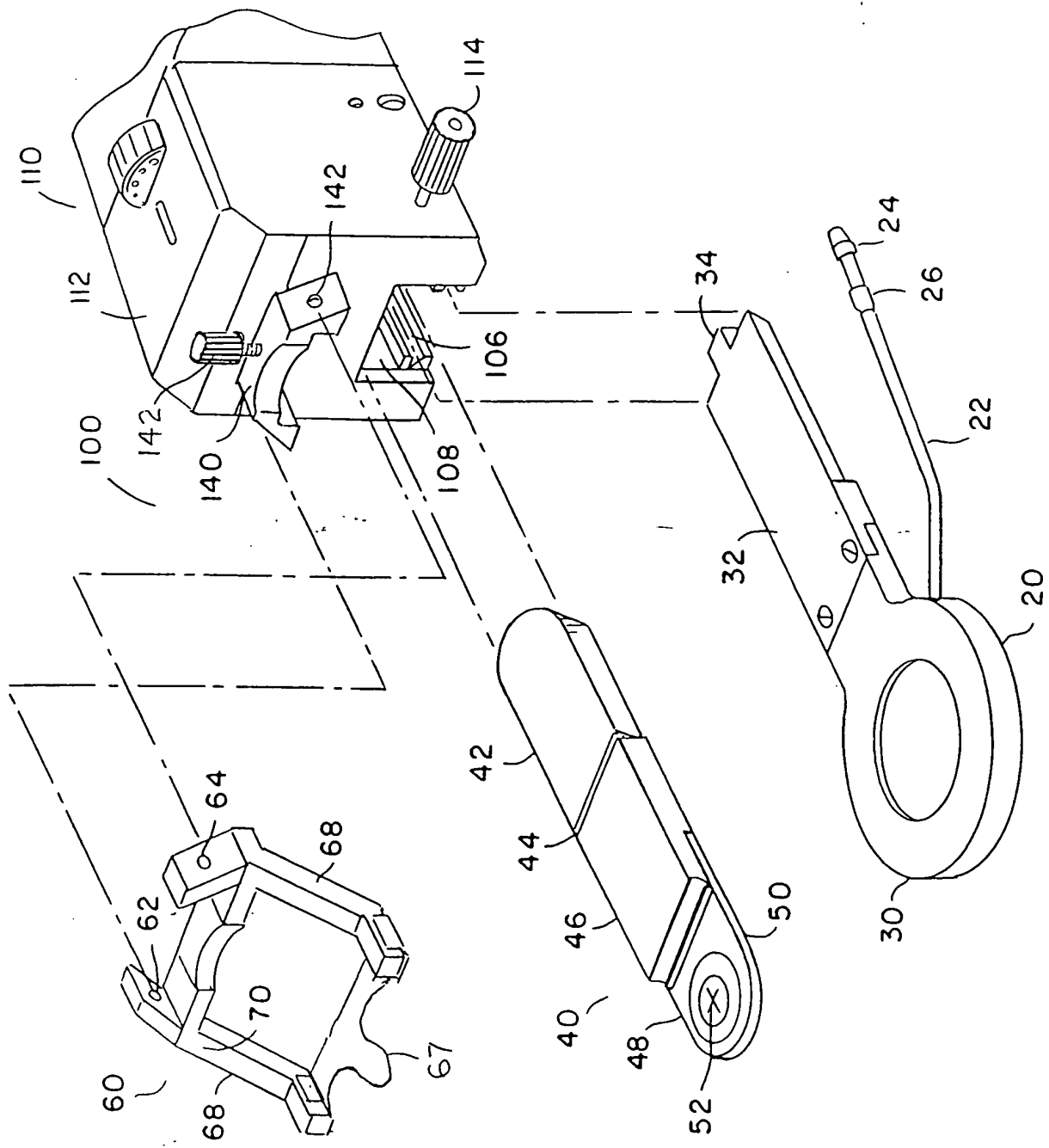


Fig. 5

Fig. 6a

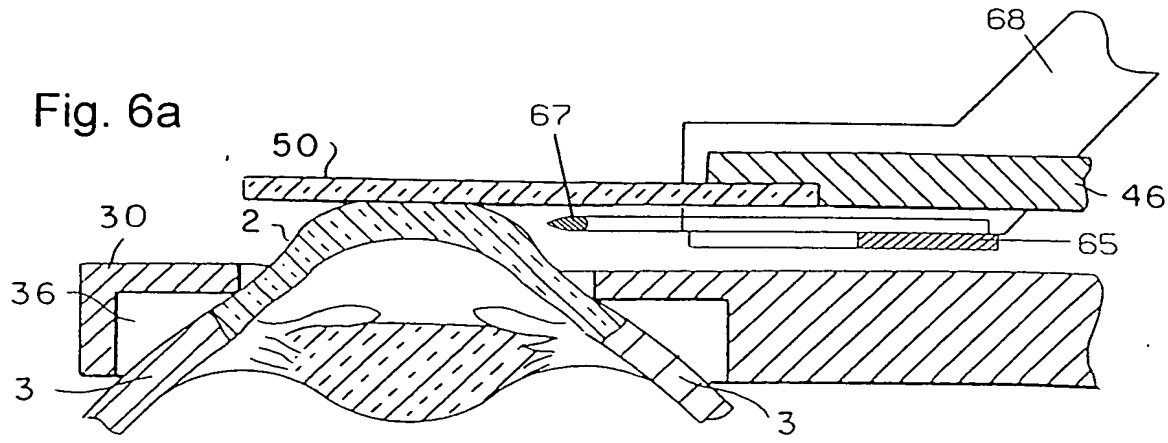


Fig. 6b

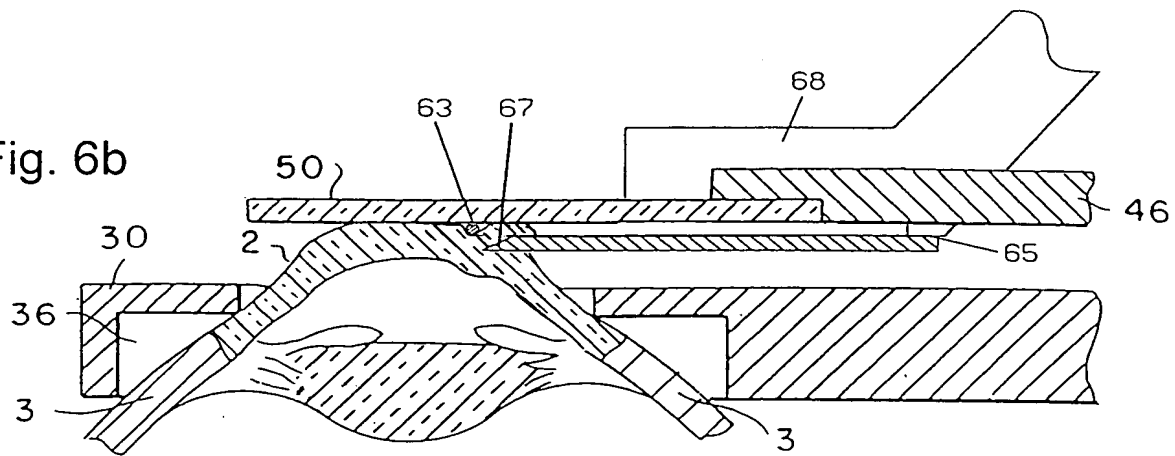


Fig. 6c

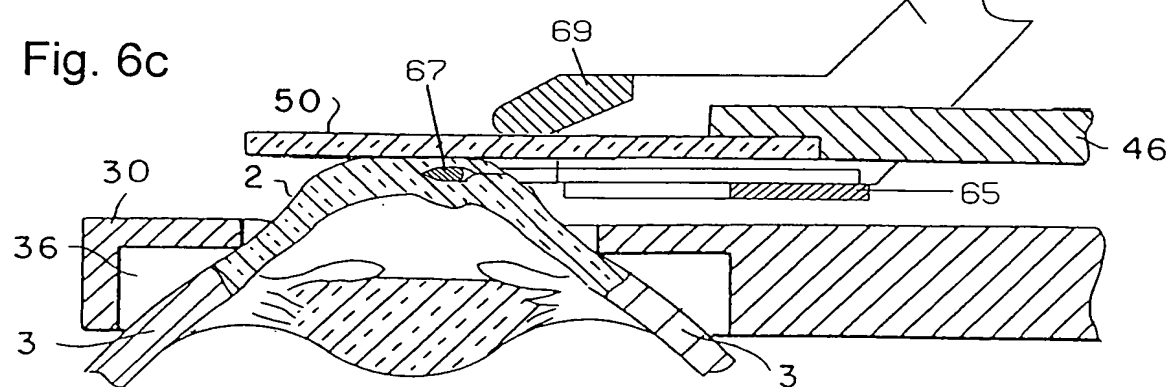
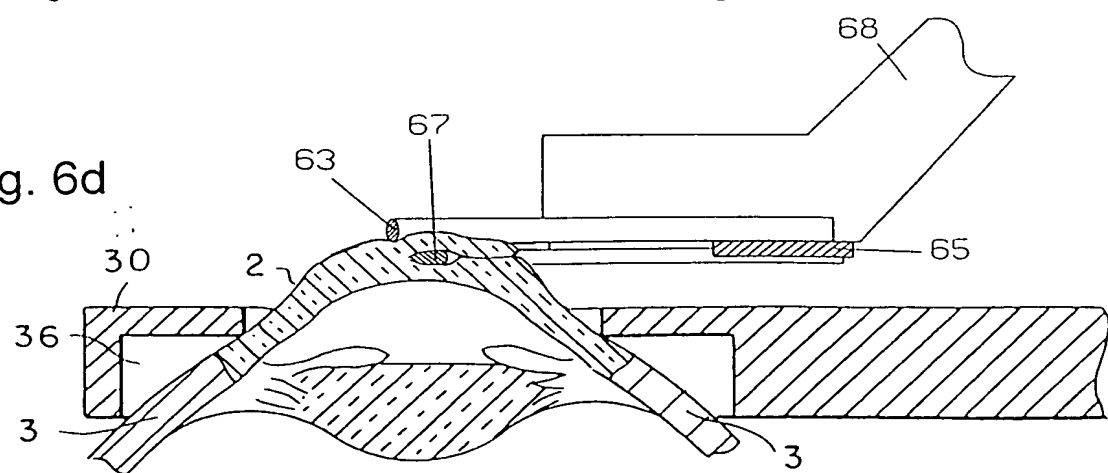


Fig. 6d



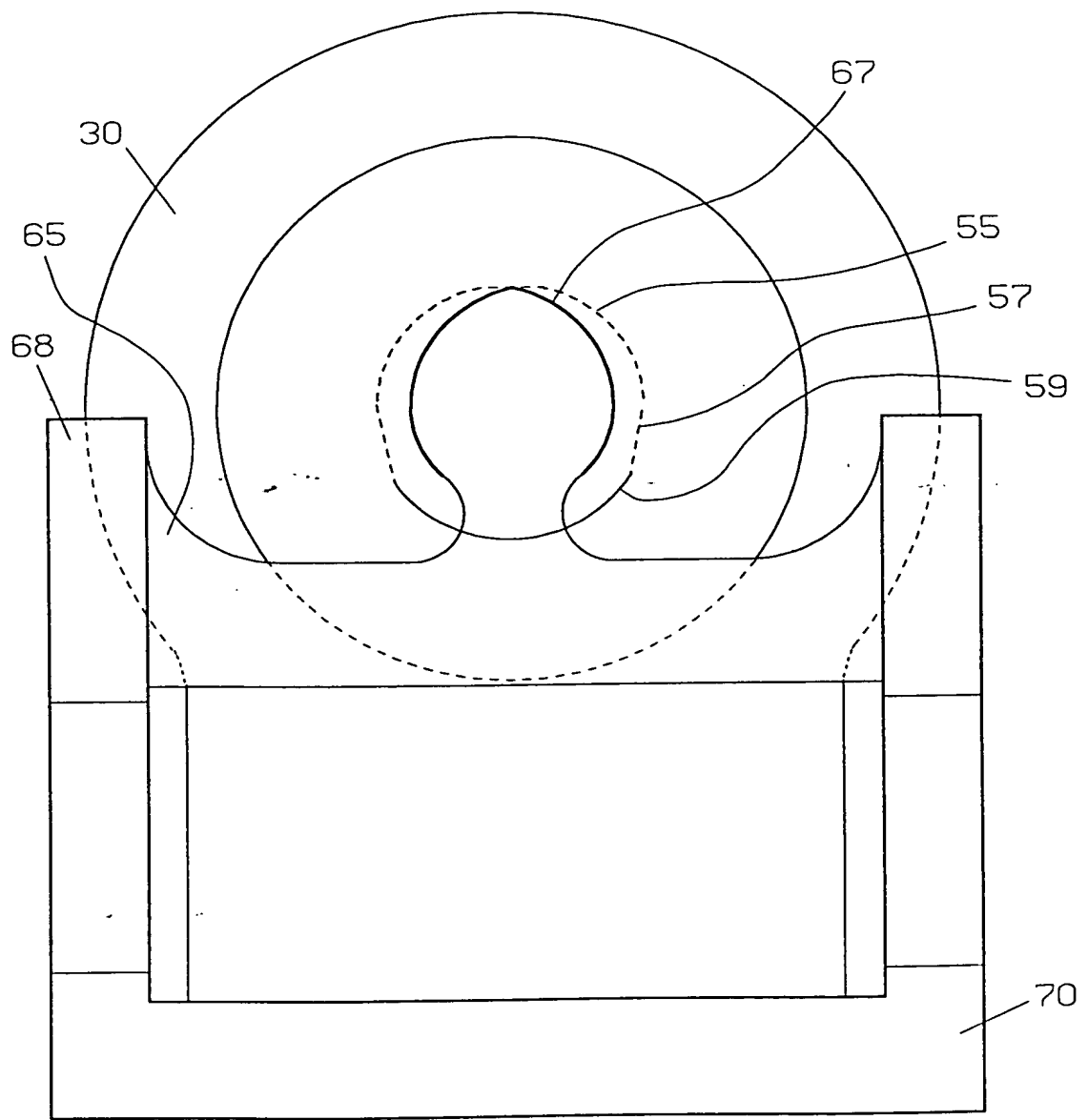


Fig. 7

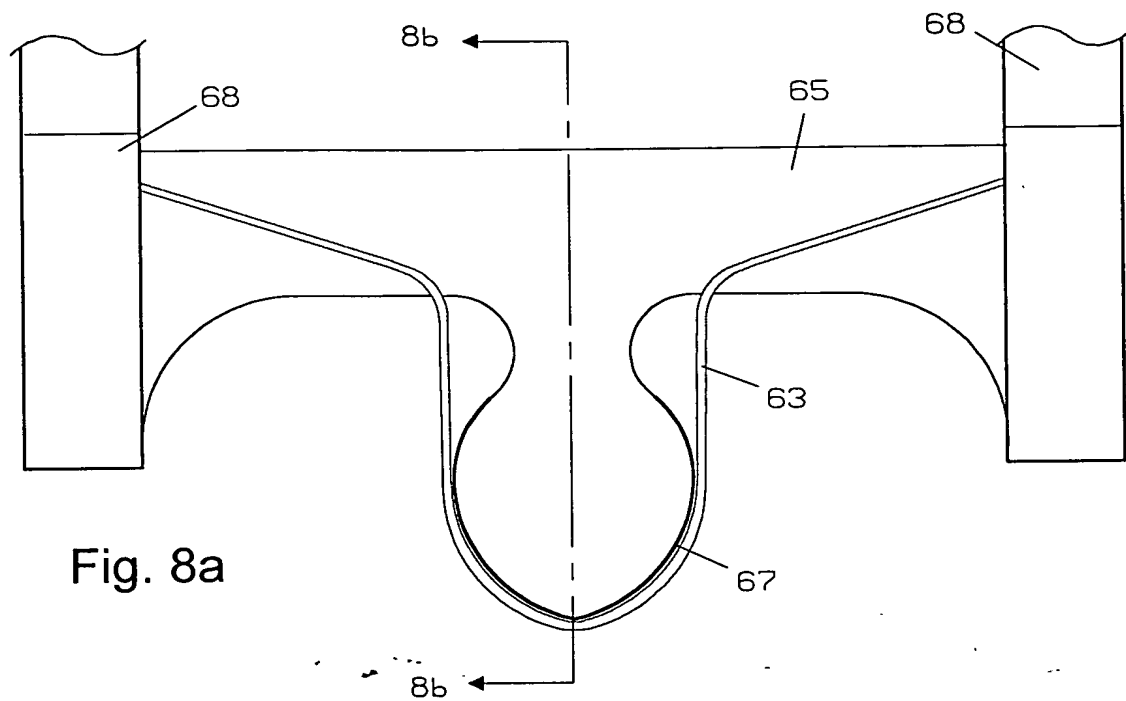


Fig. 8a

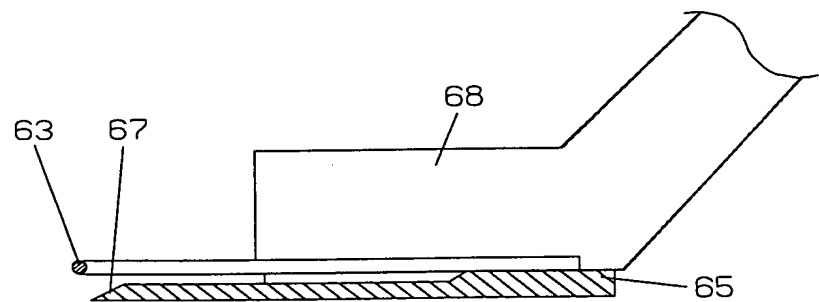


Fig. 8b

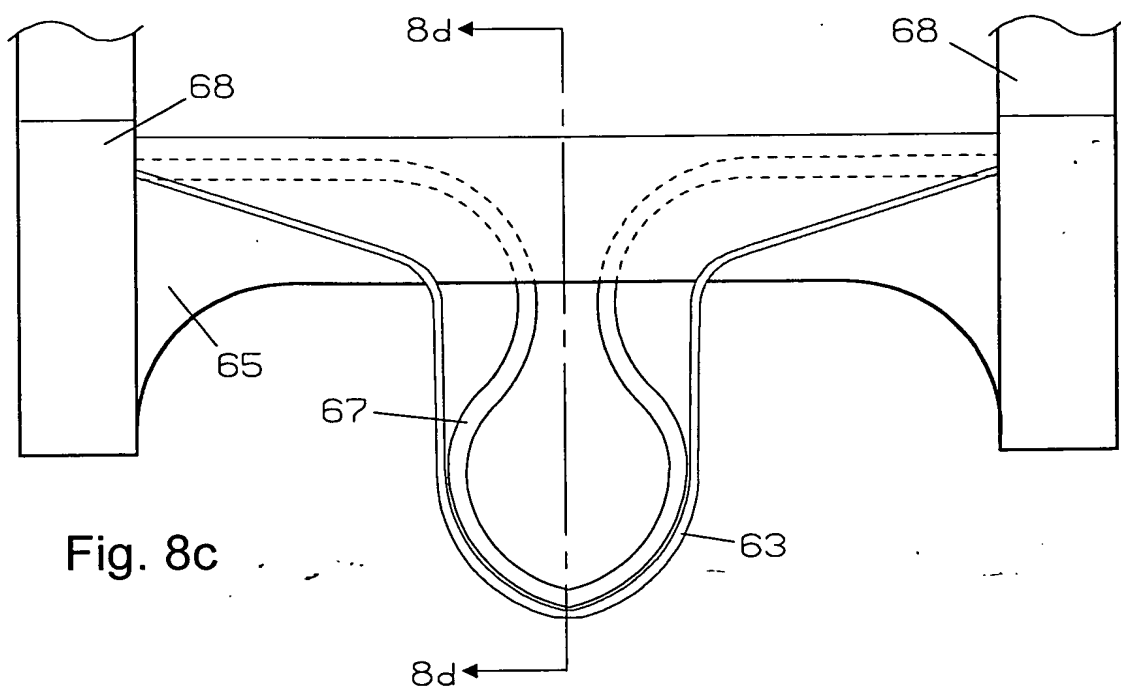


Fig. 8c

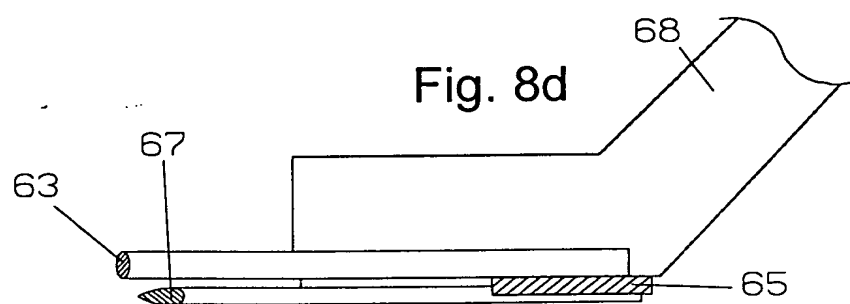


Fig. 8d

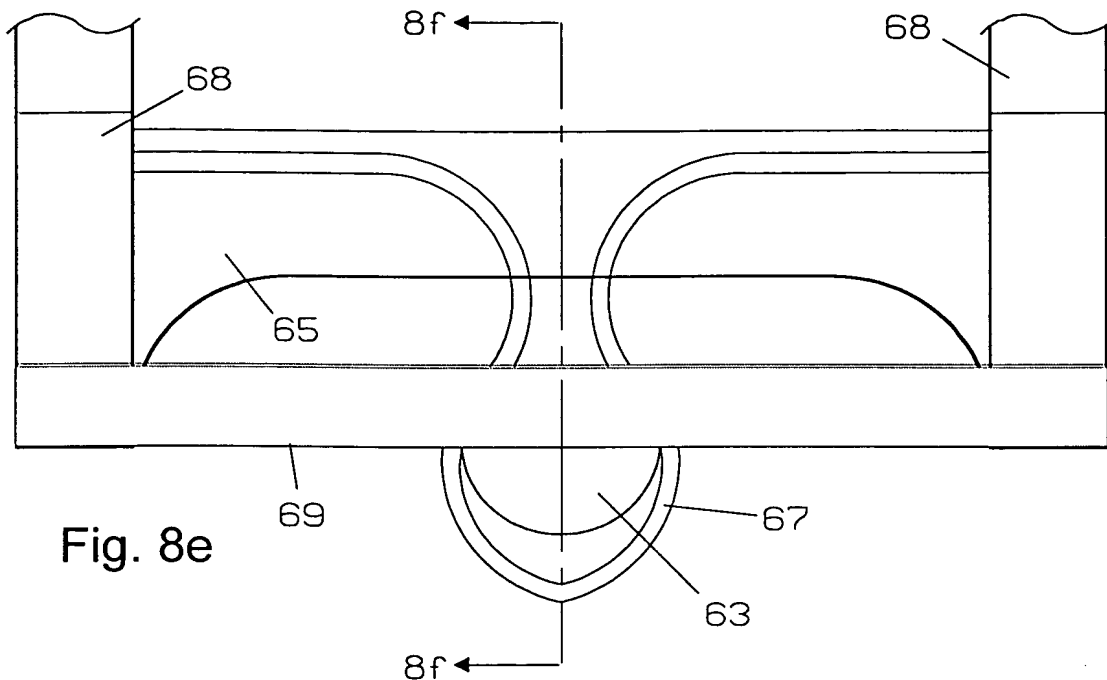


Fig. 8e

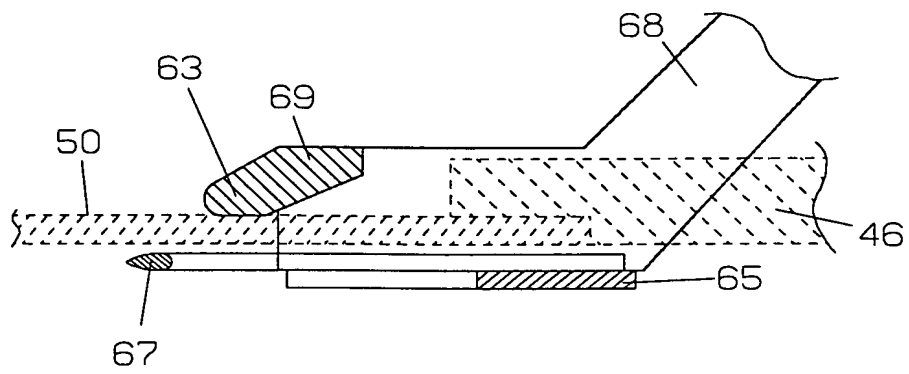
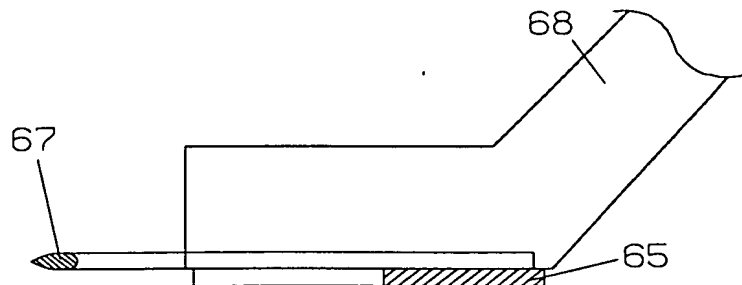


Fig. 8f

Fig. 8g



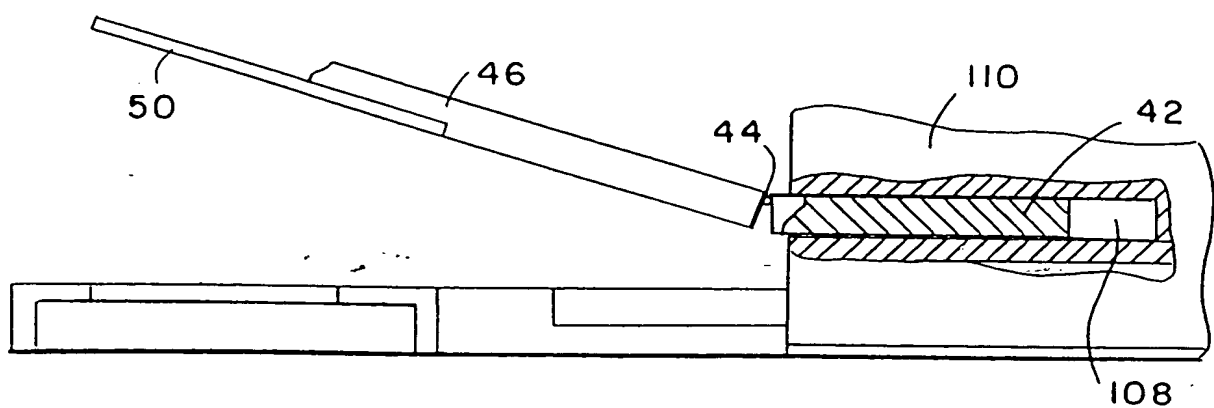


FIG. 9a

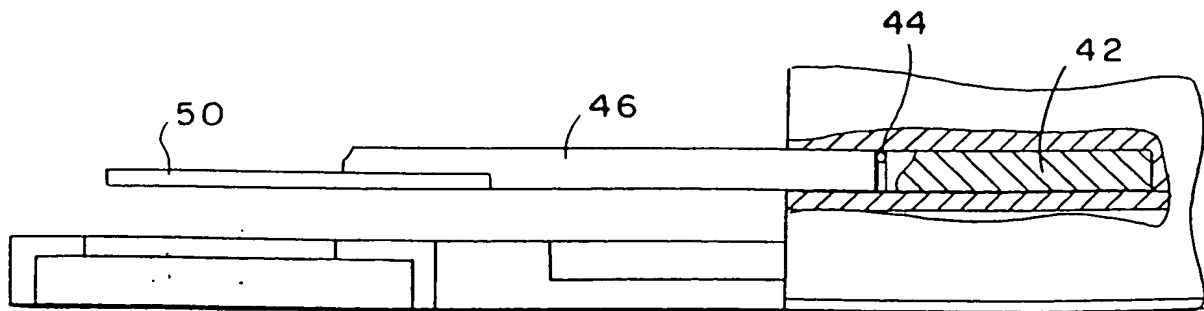


FIG. 9b

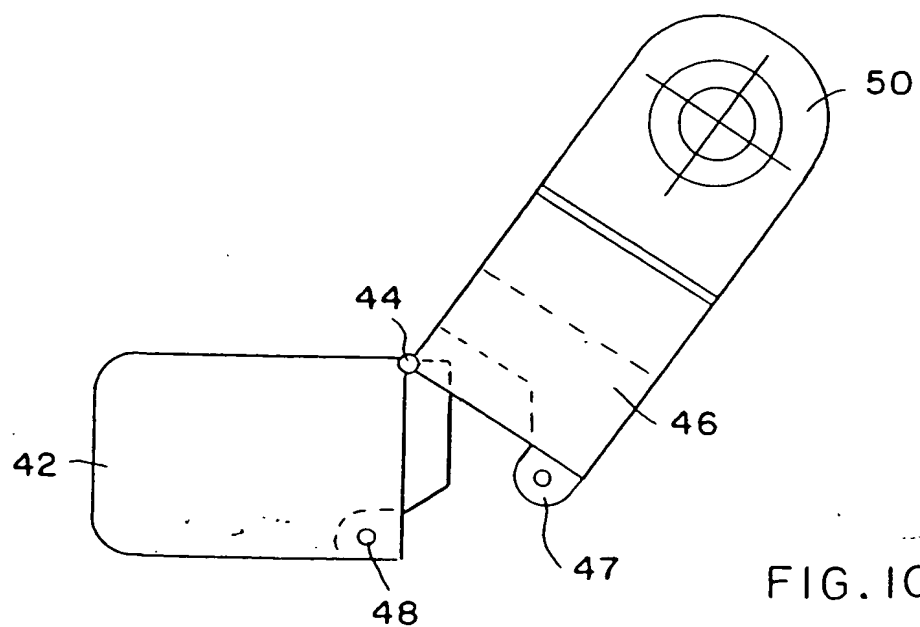


FIG. 10a

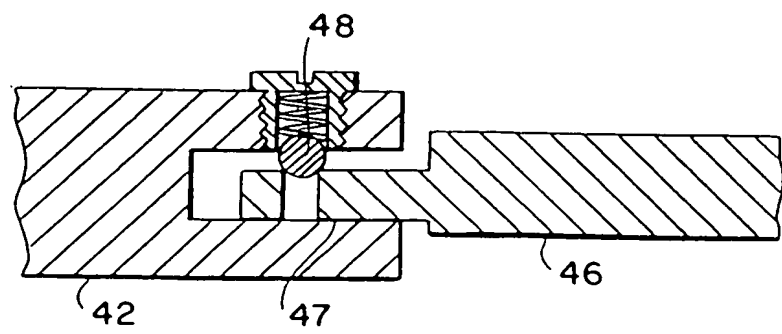


FIG. 10b

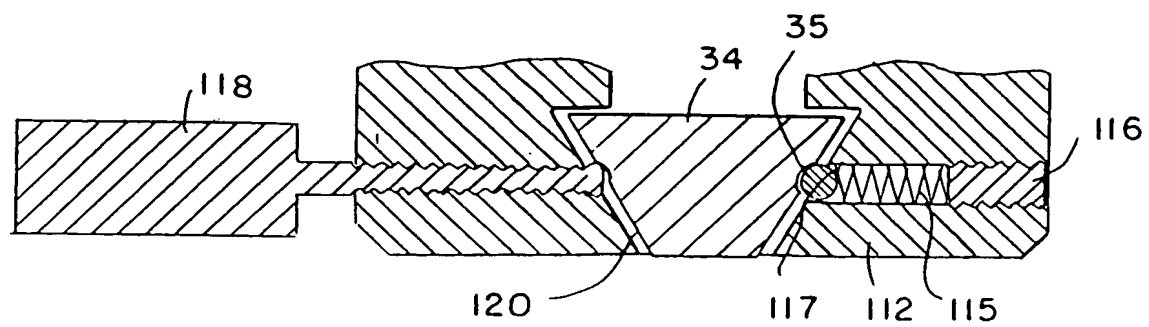
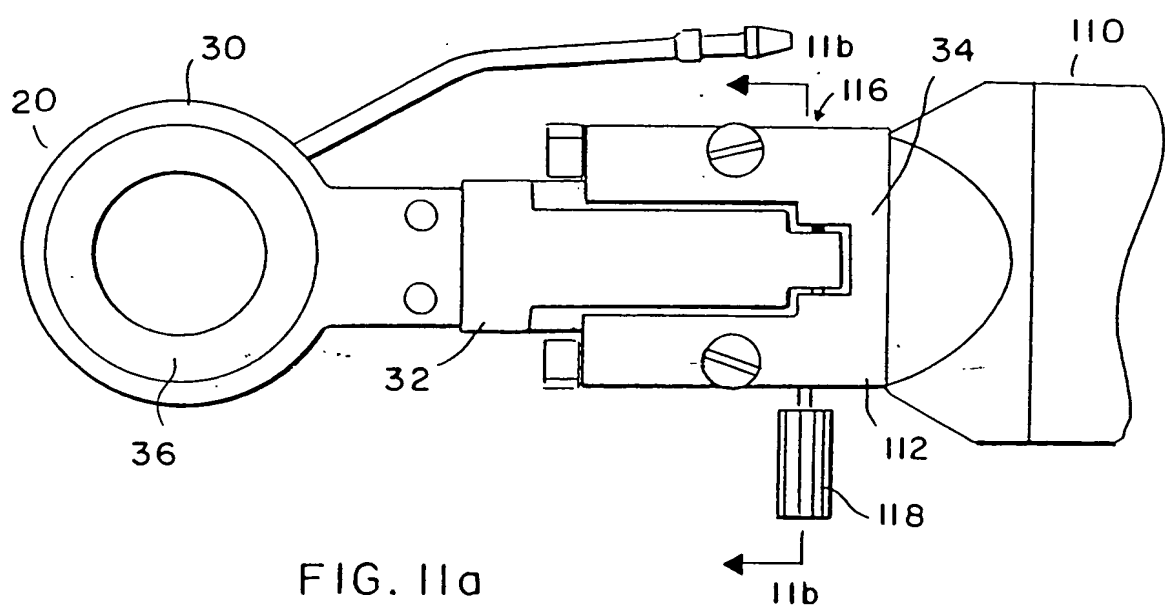


FIG. 12

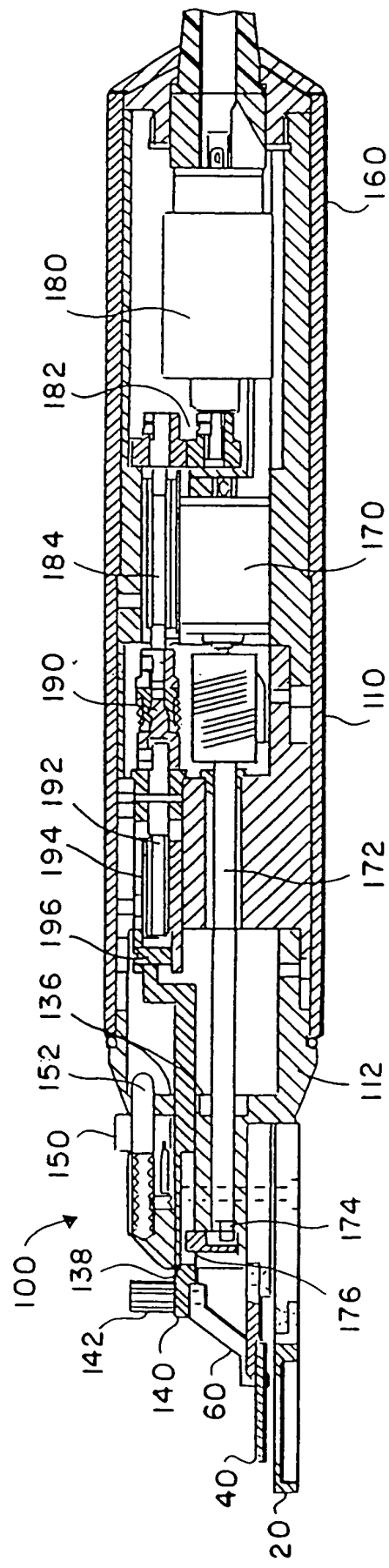


FIG. 13

Fig. 14a

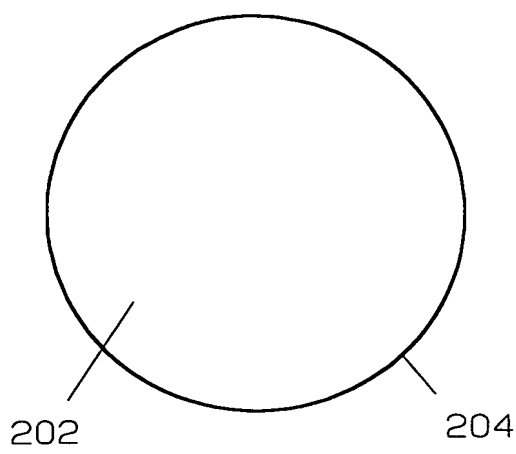


Fig. 14b

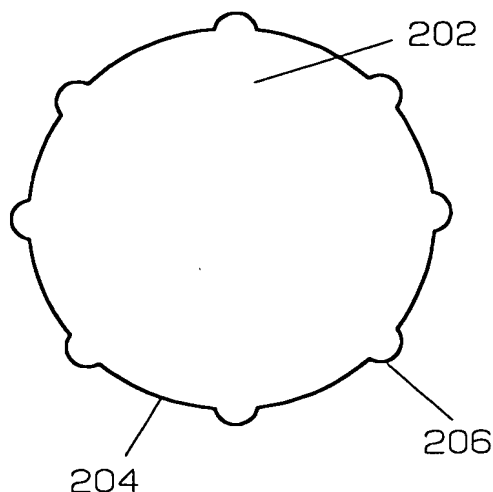


Fig. 14c

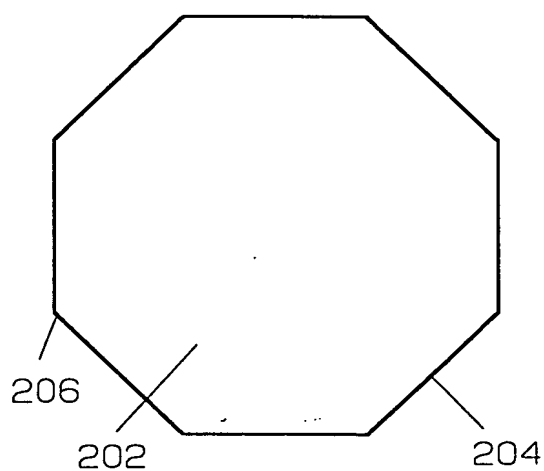


Fig. 14d

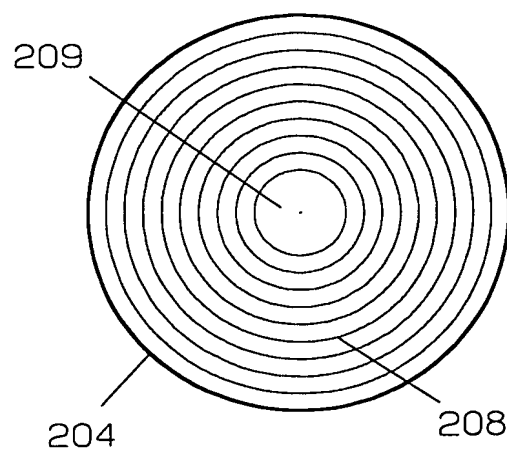


Fig. 14e

